

Soit $u_n(x) = \frac{e^{in^2x}}{2^n}$.

1. $\|u_n\|_{\infty}^{\mathbb{R}} = \frac{1}{2^n}$ est le TG d'une série numérique CV et $\forall n, u_n \in \mathcal{C}(\mathbb{R})$ donc f est définie et continue sur \mathbb{R} .
2. $\forall n, u_n \in \mathcal{C}^\infty(\mathbb{R})$ et pour un $p \in \mathbb{N}$, $u_n^{(p)}(x) = (in^2)^p u_n(x)$, $\|u_n^{(p)}\|_{\infty}^{\mathbb{R}} = \frac{n^{2p}}{2^n}$ et $\frac{n^{2p}}{2^n} = o\left(\frac{1}{n^2}\right)$ donc toutes les séries dérivées sont NCV sur \mathbb{R} donc f est $\mathcal{C}^\infty(\mathbb{R})$.
3. $a_p = \frac{1}{p!} \sum_{n=1}^{\infty} \frac{i^p n^{2p}}{2^n}$.
 $|a_p x^p| = \frac{|x|^p}{p!} \sum_{n=1}^{\infty} \frac{n^{2p}}{2^n}$ et on va prouver que $\lim_{p \rightarrow +\infty} |a_p x^p| = 0$ est faux pour tout $x \neq 0$ pour conclure que la série de Taylor de f en 0 est de rayon de convergence nul.
Pour cela, on cherche une minoration de $|a_p x^p|$ pour un $p \in \mathbb{N}^*$. Soit $n \in \mathbb{N}^*$. $\forall t \in [n-1, n]$, $t^{2p} \leq n^{2p}$ et $\frac{1}{2^{t+1}} \leq \frac{1}{2^n}$ donc :

$$|a_p x^p| \geq \frac{|x|^p}{p!} \sum_{n=1}^{\infty} \left(\int_{n-1}^n \frac{t^{2p}}{2^{t+1}} dt \right), \text{ ou}$$

$$|a_p x^p| \geq \frac{|x|^p}{p!} \int_0^{+\infty} \frac{t^{2p}}{2^{t+1}} dt.$$

En changeant de variable ($t = \frac{u}{\ln 2}$) et en remarquant que $\int_0^{+\infty} u^{2p} e^{-u} du = \Gamma(2p+1) = (2p)!$, il vient :

$$|a_p x^p| \geq \frac{|x|^p (2p)!}{2p! ((\ln 2)^{2p+1})} = m_p.$$

D'après la formule de Stirling :

$$m_p \underset{p \rightarrow +\infty}{\sim} K \left(\frac{4xp}{e \ln^2 2} \right)^p,$$

où $K \in \mathbb{R}_+^*$ ne dépend pas de p et $\lim_{p \rightarrow +\infty} m_p = +\infty$, d'où la conclusion.

```
[ P.Raph-O-900
```

```
[> restart;
```

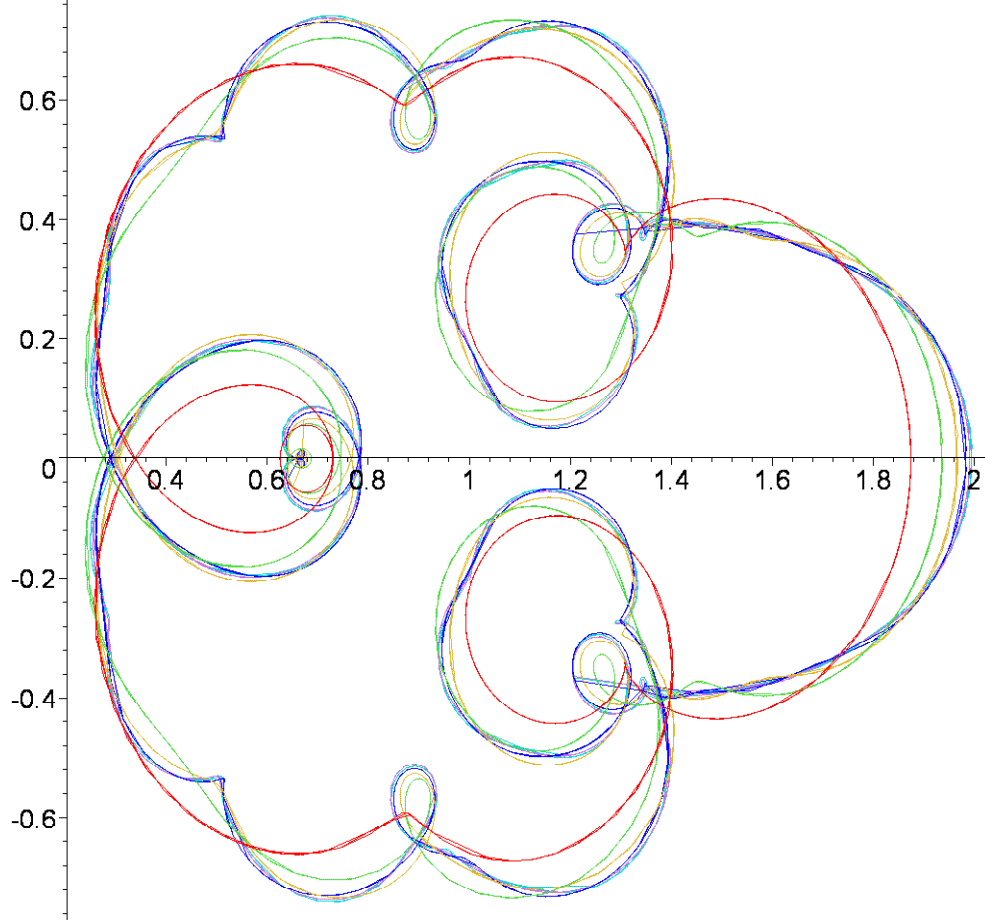
```
[> s:=(x,n)->sum('exp(I*k^(2)*x)/2^k','k'=0..n);
```

$$s := (x, n) \rightarrow \sum_{k=0}^n \frac{e^{(k^2 x I)}}{2^k}$$

```
[> with(plots);
```

```
[animate, animate3d, animatecurve, arrow, changecoords, complexplot, complexplot3d, conformal, conformal3d,  
contourplot, contourplot3d, coordplot, coordplot3d, densityplot, display, dualaxisplot, fieldplot, fieldplot3d, gradplot,  
gradplot3d, graphplot3d, implicitplot, implicitplot3d, inequal, interactive, interactiveparams, intersectplot, listcontplot,  
listcontplot3d, listdensityplot, listplot, listplot3d, loglogplot, logplot, matrixplot, multiple, odeplot, pareto, plotcompare,  
pointplot, pointplot3d, polarplot, polygonplot, polygonplot3d, polyhedra_supported, polyhedraplot, rootlocus, semilogplot,  
setcolors, setoptions, setoptions3d, spacecurve, sparsematrixplot, surfdata, textplot, textplot3d, tubeplot]
```

```
> complexplot([seq(s(x,p),p=3..8)],x=-10..10);
```



```
> for p from 0 to 9 do a[p]:=sum('I^p*k^(2*p)/2^k/p!', 'k'=0..+infinity) od;
```

$$a_0 := 2$$

$$a_1 := 6 I$$

$$a_2 := -75$$

$$a_3 := -1561 I$$

$$a_4 := \frac{181945}{4}$$

$$a_5 := \frac{34082521}{20} I$$

$$a_6 := \frac{-1872771173}{24}$$

```

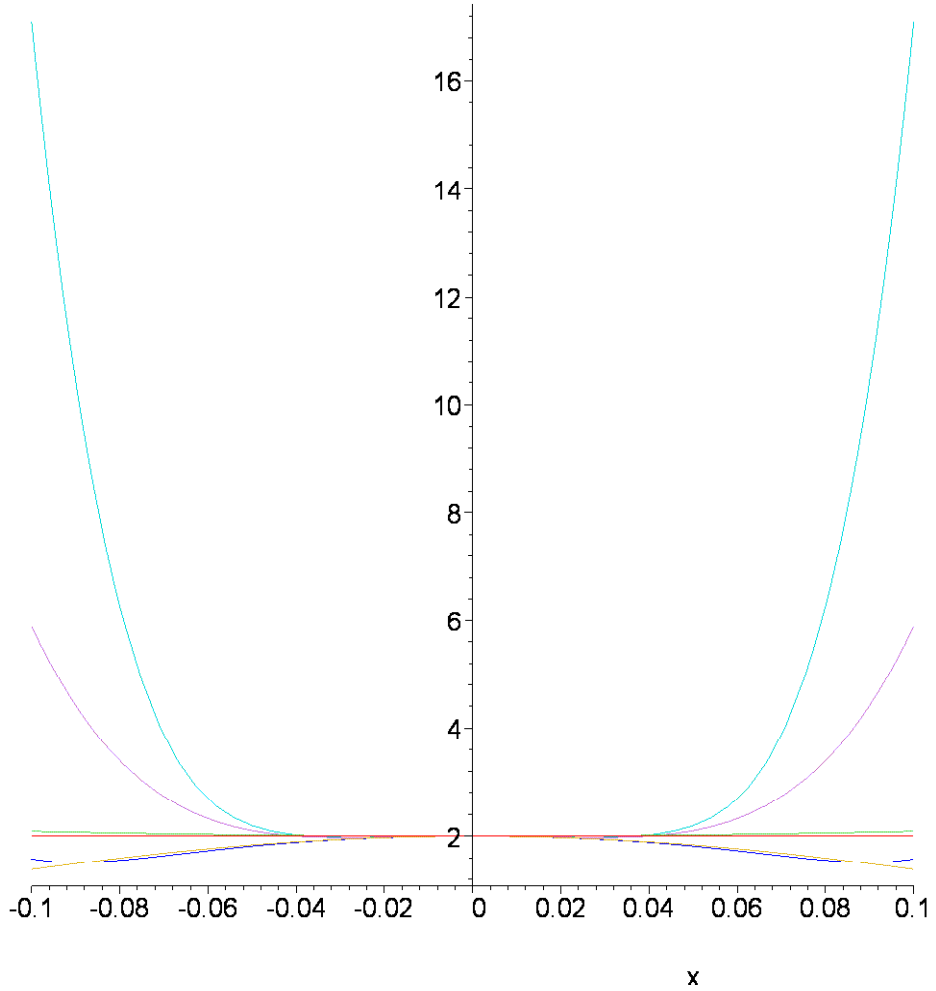

$$a_7 := \frac{-3547114323481}{840} I$$


$$a_8 := \frac{354376978798757}{1344}$$


$$a_9 := \frac{161215936345564063}{8640} I$$

> g:=(x,p)->abs(sum('a[k]*x^k',k=0..p));
g := (x, p) \rightarrow \left| \sum_{k=0}^p 'a_k x^k \right|
> plot([seq(g(x,p),p=0..5)],x=-0.1..0.1);

```



>